

О КРИТИЧЕСКИХ ПАРАМЕТРАХ УДАРНЫХ ВОЛН В ПЛАЗМЕ

Ю. А. Березин, В. А. Вшивков

(Новосибирск)

С помощью регулярного метода, основанного на анализе типа особых точек уравнений структуры стационарных ударных волн, распространяющихся в плазме с конечной проводимостью и теплопроводностью под произвольным углом к невозмущенному магнитному полю, определены критические параметры, при которых имеет место изомагнитный скачок плотности.

Вопрос о существовании и структуре ударных волн в плазме с магнитным полем интенсивно изучался многими авторами [1—10]. В работе [1] обобщены соотношения Гюгонио на случай магнитной газодинамики, в [2—7] проведено исследование этих соотношений, в результате чего ударные волны разделены на медленные ($M_s \leq M \leq 1$), промежуточные ($1 \leq M \leq M_f$) и быстрые ($M \geq M_f$), где M — скорость ударной волны по отношению к альфвеновской скорости, т. е. число Альфвена — Маха; M_s — медленная магнитозвуковая скорость; M_f — быстрая магнитозвуковая скорость. Теория ударных волн в разреженной плазме была создана Р. З. Сагдеевым [8]; им была показана возможность существования таких волн и подчеркнута важная роль дисперсионных эффектов, приводящих к возникновению ударных волн с осцилляторной структурой. Подробное исследование стационарных и нестационарных волн сжатия в двухжидкостной плазме с учетом дисперсионных эффектов дано в [9], но здесь отсутствует диссипация энергии, теплопроводность и положено $\gamma = 2$. В [10] изучен характер особых точек уравнений, описывающих структуру ударной волны, распространяющейся поперек магнитного поля, и установлены из такого анализа критические параметры, при которых происходит переход от непрерывных по всем функциям решений к разрывным по газодинамическим функциям. В [11] проанализированы различные структуры ударных волн поперек магнитного поля при учете конечной проводимости, дисперсии и электронной теплопроводности, получены численные решения нелинейных уравнений структуры в области параметров, когда течение является непрерывным, и найдены критические параметры, при которых решение из осцилляторного превращается в монотонное или разрывное. В [12] проведено достаточно подробное изучение изомагнитного скачка плотности с помощью численного решения нестационарной задачи о распространении ударных волн в плазме поперек магнитного поля (программа для численного решения разработана и опробована на большом числе подобных нестационарных задач Ю. А. Березиным, см., например, [13]). В рамках этой же программы в [14] принята попытка определить критические параметры ударных волн, распространяющихся под произвольным углом к невозмущенному магнитному полю при отсутствии теплопроводности. Однако ввиду сложного характера зависимости ширины ударной волны от числа Маха, что будет подробно описано ниже, полученные в [14] критические числа Маха нужно рассматривать как весьма приблизительные. В работе [15] дана таблица значений критических чисел Маха для ряда углов без указания метода решения.

1. Исходные уравнения. Система уравнений, описывающая одномерные движения двухжидкостной квазинейтральной плазмы под произвольным углом к невозмущенному магнитному полю при учете дисперсии, конечной проводимости и электронной теплопроводности, имеет в безразмерных переменных следующий вид:

$$(1.1) \quad \begin{aligned} \frac{\partial n}{\partial t} + \frac{\partial}{\partial x} (nu) &= 0; \\ \frac{\partial}{\partial t} (nu) + \frac{\partial}{\partial x} \left(nu^2 + \frac{H^2 + B^2 + p}{2(1+\beta)} \right) &= 0; \\ \frac{\partial}{\partial t} (nv) + \frac{\partial}{\partial x} \left(nuv - \frac{H \sin \theta}{1+\beta} \right) &= 0; \\ \frac{\partial}{\partial t} (nw) + \frac{\partial}{\partial x} \left(nuw - \frac{B \sin \theta}{1+\beta} \right) &= 0; \\ \frac{\partial}{\partial t} \left[H - \frac{\beta}{1+\beta} \frac{\partial}{\partial x} \left(\frac{1}{n} \frac{\partial H}{\partial x} \right) \right] + \frac{\partial}{\partial x} \left[uH - v \sin \theta - \frac{\kappa}{n} \frac{\partial H}{\partial x} - \frac{1-\beta \sin \theta}{1+\beta} \frac{\partial B}{n} \frac{\partial B}{\partial x} - \right. \\ &\quad \left. - \frac{\beta u}{1+\beta} \frac{\partial}{\partial x} \left(\frac{1}{n} \frac{\partial H}{\partial x} \right) \right] = 0; \\ \frac{\partial}{\partial t} \left[B - \frac{\beta}{1+\beta} \frac{\partial}{\partial x} \left(\frac{1}{n} \frac{\partial B}{\partial x} \right) \right] + \frac{\partial}{\partial x} \left[uB - w \sin \theta - \frac{\kappa}{n} \frac{\partial B}{\partial x} + \right. \\ &\quad \left. + \frac{1-\beta \sin \theta}{1+\beta} \frac{\partial H}{n} \frac{\partial H}{\partial x} - \frac{\beta u}{1+\beta} \frac{\partial}{\partial x} \left(\frac{1}{n} \frac{\partial B}{\partial x} \right) \right] = 0; \\ \frac{\partial}{\partial t} \left\{ \frac{p}{2(\gamma-1)} + \frac{1}{2} (H^2 + B^2) + \frac{1+\beta}{2} n (u^2 + v^2 + w^2) + \right. \\ &\quad \left. + \frac{\beta}{2(1+\beta)n} \left[\left(\frac{\partial H}{\partial x} \right)^2 + \left(\frac{\partial B}{\partial x} \right)^2 \right] \right\} + \frac{\partial}{\partial x} \left\{ u \left[\frac{\gamma p}{2(\gamma-1)} + H^2 + B^2 + \right. \right. \\ &\quad \left. \left. + \frac{1+\beta}{2} n (u^2 + v^2 + w^2) + \frac{\beta}{2(1+\beta)n} \left(\left(\frac{\partial H}{\partial x} \right)^2 + \left(\frac{\partial B}{\partial x} \right)^2 \right) \right] - \right. \\ &\quad \left. - (vH + wB) \sin \theta - \frac{\kappa}{n} \left(H \frac{\partial H}{\partial x} + B \frac{\partial B}{\partial x} \right) - \frac{1-\beta \sin \theta}{1+\beta} \frac{\partial}{\partial x} \left(H \frac{\partial B}{\partial x} - B \frac{\partial H}{\partial x} \right) - \right. \\ &\quad \left. - \frac{\beta}{1+\beta} \left[H \left(\frac{\partial}{\partial t} + u \frac{\partial}{\partial x} \right) \left(\frac{1}{n} \frac{\partial H}{\partial x} \right) + B \left(\frac{\partial}{\partial t} + w \frac{\partial}{\partial x} \right) \left(\frac{1}{n} \frac{\partial B}{\partial x} \right) \right] - \right. \\ &\quad \left. - 2\chi \frac{\partial T_e}{\partial x} \right\} = 0, \end{aligned}$$

$p = nT_e$, $\vec{u} = (m_i \vec{u}_i + m_e \vec{u}_e) / (m_i + m_e) = \{u, v, w\}$, $\vec{H} = \{\sin \theta, H, B\}$. Направление распространения волны совпадает с осью x , невозмущенное магнитное поле лежит в плоскости x, z . В качестве масштабов плотности, длины, скорости, магнитного поля, давления выбраны величины

$$n_0, \delta = \frac{c \sqrt{m_i}}{\sqrt{4\pi n_0 e}}, V_A = \frac{H_0}{\sqrt{4\pi n_0 m_i}}, H_0, \frac{H_0^2}{8\pi}.$$

Кроме того, введены следующие обозначения:
 $\kappa = m_e c v / e H_0$ — безразмерная эффективная частота столкновений;
 $\beta = m_e / m_i$; θ — угол между плоскостью фронта волны и направлением распространения;
 $\chi = \frac{p}{H^2 + B^2 + \sin^2 \theta} \left(\frac{\sin^2 \theta \cdot \chi_{\parallel}}{\kappa} + \frac{(H^2 + B^2) \kappa \chi_{\perp}}{H^2 + B^2 + \sin^2 \theta} \right)$ — безразмерный коэффициент теплопроводности (индексами \parallel и \perp отмечены коэффициенты вдоль и поперек магнитного поля). Проводимость плазмы в размерных переменных была введена по формуле $\sigma = ne^2 / m_e v$.

2. Уравнения структуры ударных волн. Перейдем в систему координат, движущуюся с постоянной скоростью M ударной волны в направлении отрицательных значений координаты x . Тогда из (1.1) получаем следующую систему стационарных уравнений и алгебраических соотношений (законы сохранения):

$$(2.1) \quad \begin{aligned} nu &= M, \quad 2Mu + p + H^2 + B^2 = C_1, \\ Mv &= H \sin \theta, \quad Mw = (B - \cos \theta) \sin \theta, \\ \beta M \frac{d}{dx} \left(\frac{1}{n} \frac{dH}{dx} \right) &= MH - \kappa \frac{dH}{dx} - \left(\frac{dB}{dx} + nv \right) \sin \theta, \\ \beta M \frac{d}{dx} \left(\frac{1}{n} \frac{dB}{dx} \right) &= MB - \left(nw - \frac{dH}{dx} \right) \sin \theta - \kappa \frac{dB}{dx} - Mn \cos \theta, \end{aligned}$$

$$(2.2) \quad \begin{aligned} \chi \frac{p - 2Mu}{M} \frac{du}{dx} &= \frac{u}{M} \left\{ ((2\chi - \kappa)H + B \sin \theta) \frac{dH}{dx} + \right. \\ &+ \left. ((2\chi - \kappa)B - H \sin \theta) \frac{dB}{dx} \right\} + \frac{1}{2} M(u^2 + v^2 + w^2) + u \left(\frac{\gamma p}{2(\gamma - 1)} + \right. \\ &+ \left. H^2 + B^2 \right) - (vH + wB) \sin \theta - \beta u \left[H \frac{d}{dx} \left(\frac{1}{n} \frac{dH}{dx} \right) + B \frac{d}{dx} \left(\frac{1}{n} \frac{dB}{dx} \right) \right] - C_2, \end{aligned}$$

где

$$C_1 = 2M^2 + p_0 + \cos^2 \theta; \quad C_2 = 0,5M(\gamma p_0/(\gamma - 1) + M^2 + 2 \cos^2 \theta).$$

Уравнения (2.2) для компонент магнитного поля H , B и продольной макроскопической скорости плазмы вместе с законами сохранения (2.1) описывают структуру стационарной ударной волны при учете инерции электронов (члены, пропорциональные β), конечной проводимости, анизотропии плазмы и электронной теплопроводности.

3. Стационарные состояния. Введем индексы 0 и 1 для того, чтобы отмечать функции, соответствующие стационарным состояниям плазмы перед волной (невозмущенное состояние) и за волной (возмущенное состояние), и из системы (2.1), (2.2) получим следующую связь между этими функциями:

$$\begin{aligned} n_1 u_1 &= M, \quad p_1 + 2Mu_1 + B_1^2 = p_0 + 2M^2 + \cos^2 \theta, \\ Mw_1 &= (B_1 - \cos \theta) \sin \theta, \quad n_1 (M \cos \theta + w_1 \sin \theta) = MB_1, \\ M \left(\frac{\gamma p_1}{2(\gamma - 1)n_1} + \frac{B_1^2}{n_1} + \frac{u_1^2 + w_1^2}{2} \right) - w_1 B_1 \sin \theta &= M \left(\frac{\gamma p_0}{2(\gamma - 1)} + \right. \\ &+ \left. \cos^2 \theta + \frac{1}{2} M^2 \right). \end{aligned}$$

Известно, что функции за ударной волной являются однозначными, если в качестве независимой переменной выбрать плотность n_1 за волной. Поэтому, выражая все функции за волной через n_1 и число Маха M , получим следующие выражения:

$$\begin{aligned} B_1 &= (M^2 - \sin^2 \theta) \cos \theta / \left(\frac{M^2}{n_1} - \sin^2 \theta \right), \quad u_1 = Mn_1^{-1}, \\ p_1 &= p_0 + 2M^2(n_1 - 1) \left[\frac{1}{n_1} - \frac{(n_1 + 1)M^2 - 2n_1 \sin^2 \theta}{2(M^2 - n_1 \sin^2 \theta)^2} \cos^2 \theta \right]. \end{aligned}$$

Число Маха ударной волны связано с плотностью плазмы n_1 за волной уравнением

$$(3.1) \quad (M^2 - n_1 \sin^2 \theta)^2 \left(M^2 - \frac{\gamma p_0 n_1}{\gamma + 1 - (\gamma - 1) n_1} \right) - \\ - \left[\frac{(2 - \gamma) n_1 + \gamma}{\gamma + 1 - (\gamma - 1) n_1} M^2 - n_1 \sin^2 \theta \right] n_1 M^2 \cos^2 \theta = 0.$$

Если ввести новые функции

$$y = M^2 / \sin^2 \theta, \quad z = y / n_1,$$

то из (3.1) получаем

$$(3.2) \quad y = \frac{[(\gamma + 1)(z - 1)^2 \sin^2 \theta - (\gamma z - \gamma - 1) \cos^2 \theta] z - \gamma (z - 1)^2 p_0}{(\gamma - 1)(z - 1)^2 \sin^2 \theta + [(2 - \gamma)z + \gamma - 1] \cos^2 \theta}.$$

Задавая различные значения z , можно найти значения y , а затем все искомые функции

$$M^2 = y \sin^2 \theta, \quad n_1 = y / z, \\ B_1 = [(y - 1) / (z - 1)] \cos \theta, \\ p_1 = p_0 + 2(y - z) \{ 1 - [(y + z - 2) / 2(z - 1)]^2 \operatorname{ctg}^2 \theta \} \sin^2 \theta.$$

Для случая $\gamma = 5/3$ из (3.2) имеем

$$y = \frac{[8(z - 1)^2 \sin^2 \theta - (5z - 8) \cos^2 \theta] z - 5(z - 1)^2 p_0}{2(z - 1)^2 \sin^2 \theta + (z + 2) \cos^2 \theta}.$$

Далее всюду будут рассматриваться состояния плазмы перед волной с $p_0 \ll 1$, поэтому речь пойдет только о быстрых ударных волнах с $M > 1$.

4. Исследование особых точек. Стационарным состояниям 0 и 1, рассмотренным выше, соответствуют особые точки системы (2.2), и характер решения задачи об ударной волне зависит от типа этих особых точек. Полагая $u = u_{0,1} + u'$, $B = B_{0,1} + B'$, $H = H'$, где $u_0 = M$, $B_0 = \cos \theta$, $u' \ll u_{0,1}$, $B' \ll B_{0,1}$, произведем линеаризацию системы (2.2) вблизи особых точек 0, 1. Учет дисперсии не влияет на значения критических параметров, поэтому будем считать $\beta = 0$ и получим из (2.2) следующую линейную систему уравнений (штрихи опущены):

$$(4.1) \quad cdH/dx = \kappa a_{1,0} H - a_{1,0} \sin \theta \cdot B - b_{1,0} \sin \theta \cdot u, \\ cdB/dx = a_{1,0} \sin \theta \cdot H + \kappa a_{1,0} B + \kappa b_{1,0} u, \\ f_{1,0} du/dx = g_{1,0} H + r_{1,0} B + q_{1,0} u,$$

где

$$a_{1,0} = M(1 - n_{1,0} \sin^2 \theta / M^2); \quad c = \kappa^2 + \sin^2 \theta; \\ (4.2) \quad b_{1,0} = n_{1,0}^2 \left(\cos \theta + \frac{B_{1,0} - \cos \theta}{M^2} \sin^2 \theta \right); \\ f_{1,0} = [(p_{1,0} - 2Mu_{1,0}) / M] \chi_{1,0}; \quad g_{1,0} = (2u_{1,0} B_{1,0} a_{1,0} \sin \theta) / Mc \chi_{1,0}; \\ r_{1,0} = B_{1,0} \left[\frac{a_{1,0} u_{1,0}}{Mc} (2\chi_{1,0} \kappa - \kappa^2 - \sin^2 \theta) - \frac{2 - \gamma}{\gamma - 1} u_{1,0} - \frac{\sin^2 \theta}{M} \right]; \\ q_{1,0} = u_{1,0} \left[\frac{B_{1,0} b_{1,0}}{Mc} (2\chi_{1,0} \kappa - \kappa^2 - \sin^2 \theta) - \frac{M}{\gamma - 1} \right] + \frac{\gamma p_{1,0}}{2(\gamma - 1)} + B_{1,0}^2; \\ \chi_{1,0} = \frac{p_{1,0}}{B_{1,0}^2 + \sin^2 \theta} \left(\frac{\chi_{\parallel}}{\kappa} \sin^2 \theta + \frac{B_{1,0}^2 \kappa}{B_{1,0}^2 + \sin^2 \theta} \chi_{\perp} \right).$$

Как обычно, будем искать решение (4.1) в виде функций, пропорциональных $\exp(kx)$, в результате чего получаем характеристическое уравнение

$$(4.3) \quad c^2 f_{1,0} k^3 - c(2a_{1,0} f_{1,0} \kappa + c q_{1,0}) k^2 + [\kappa (\kappa a_{1,0}^2 f_{1,0} + 2a_{1,0} c q_{1,0} - b_{1,0} c r_{1,0}) + (b_{1,0} c g_{1,0} + a_{1,0}^2 f_{1,0} \sin \theta) \sin \theta] k - a_{1,0} c (a_{1,0} q_{1,0} - b_{1,0} r_{1,0}) = 0.$$

Рассмотрим случай $\gamma = 5/3$ и предположим, что теплопроводностью можно пренебречь ($\chi = 0$). Тогда уравнение (4.3) становится квадратным уравнением

$$(4.4) \quad c q_{1,0} k^2 - \kappa (2a_{1,0} q_{1,0} - b_{1,0} r_{1,0}) k + a_{1,0} (a_{1,0} q_{1,0} - b_{1,0} r_{1,0}) = 0$$

с коэффициентами

$$r_{1,0} = -B_{1,0} [(3/2 - n_{1,0} \sin^2 \theta / M^2) u_{1,0} + \sin^2 \theta / M],$$

$$q_{1,0} = \frac{5}{4} p_{1,0} + B_{1,0}^2 - M u_{1,0} \left(\frac{3}{2} + \frac{B_{1,0} b_{1,0}}{M^2} \right),$$

$a_{1,0}$, $b_{1,0}$, c такие же, как в (4.2).

В невозмущенном состоянии

$$a_0 = M(1 - \sin^2 \theta / M^2) > 0, \quad b_0 = \cos \theta > 0,$$

$$r_0 = -(3/2)M \cos \theta < 0, \quad q_0 = -(3/2)M^2 < 0.$$

Поэтому последовательность Рауса (см., например, [16]) для уравнения (4.4)

$$\{c q_0, -\kappa(2a_0 q_0 - b_0 r_0), a_0(a_0 q_0 - b_0 r_0)\}$$

в невозмущенной точке 0 имеет знаки $\{-, +, -\}$ при любых параметрах. Этим двум переменам знака, согласно критерию Рауса, соответствуют два корня с положительной вещественной частью, и интегральная кривая системы (2.2) всегда может войти в точку 0 (напомним, что невозмущенное состояние плазмы выбрано при $x < 0$).

В возмущенном состоянии

$$a_1 = M(1 - n_1 \sin^2 \theta / M^2) > 0,$$

$$b_1 = n_1^2 \{ \cos \theta + [(B_1 - \cos \theta) / M^2] \sin^2 \theta \} > 0,$$

$$r_1 = -(3/2)B_1 u_1 < 0,$$

$$q_1 = (5/4) p_1 + B_1^2 - M u_1 (3/2 + B_1 b_1 / M^2)$$

и число перемен знака в последовательности Рауса зависит от знака величины q_1 . Если $q_1 > 0$, то имеем $\{+, -, +\}$, что соответствует двум корням с положительной вещественной частью в особой точке 1, и интегральная кривая не может выйти из точки 1 (напомним, что возмущенное состояние плазмы выбрано при $x > 0$). Если $q_1 < 0$, то имеем $\{-, -, +\}$, что соответствует наличию одного отрицательного корня и интегральная кривая может выйти из точки 1. Таким образом, переход от непрерывных решений к разрывным осуществляется при параметрах, когда $q_1 = 0$. Эти критические параметры представлены в табл. 1.

Т а б л и ц а 1

θ°	0	10	20	30	40	50	60	70	80	90
M	2,76	2,741	2,677	2,575	2,439	2,277	2,097	1,907	1,716	1,530
n_1	2,66	2,661	2,654	2,641	2,623	2,596	2,558	2,506	2,435	2,342
B_1	2,66	2,638	2,564	2,445	2,286	2,096	1,882	1,657	1,432	1,217
p_1	3,42	3,388	3,241	3,011	2,722	2,397	2,060	1,740	1,451	1,20
T_1	1,28	1,273	1,221	1,140	1,038	0,923	0,806	0,696	0,596	0,512

При учете теплопроводности необходимо исследовать число перемен знака в последовательности Рауса для уравнения (4.3)

$$\{A, B, C - AD/B, D\},$$

где A, B, C, D — коэффициенты уравнения (4.3) в порядке убывания степени k . В особой точке 0 имеем $\{-, +, -, +\}$, этим трем переменам знака соответствуют три корня с положительной вещественной частью и интегральная кривая всегда может войти в точку 0. В особой точке 1, как показывает анализ, последовательность Рауса имеет знаки $\{-, -, +, -\}$ при числах Маха, меньших некоторого значения $M_*(\theta)$, и $\{+, -, +, -\}$ при $M > M_*(\theta)$, т. е. в первом случае интегральная кривая может выйти из точки 1, поскольку есть один отрицательный корень характеристического уравнения (4.3), а во втором — не может, поскольку уравнение (4.3) не имеет ни одного корня с отрицательной вещественной частью. Этот переход имеет место, когда коэффициент f_1 обращается в нуль. Полученные таким образом критические параметры при наличии теплопроводности представлены в табл. 2. Учет теплопроводности приводит к увеличению критического числа Маха для всех углов θ , причем эта разница

Т а б л и ц а 2

θ°	0	10	20	30	40	50	60	70	80	90
M	3,464	3,431	3,334	3,177	2,970	2,724	2,454	2,175	1,904	1,652
n_1	3,00	2,999	2,994	2,986	2,974	2,954	2,926	2,884	2,821	2,732
B_1	3,00	2,968	2,875	2,723	2,523	2,282	2,015	1,737	1,463	1,209
p_1	8,00	7,852	7,423	6,759	5,933	5,024	4,116	3,282	2,570	2,00
T_1	2,667	2,618	2,479	2,263	1,995	1,700	1,407	1,138	0,911	0,732

уменьшается с увеличением угла θ . Интересно отметить, что, как и в случае ударных волн, распространяющихся поперек магнитного поля и рассмотренных в [10—12], для косых волн при критических параметрах имеем $p_1 = 2Mu_1$ или (в размерных переменных) $u_1 = (T_1/m_i)^{1/2}$, т. е. продольная скорость плазмы за волной (в системе координат, связанной с волной) равна скорости ионного звука за волной.

5. Ударные волны включения. Рассмотрим отдельно ударные волны, распространяющиеся вдоль невозмущенного магнитного поля ($\theta = 90^\circ$),

которые называются ударными волнами включения. Из системы (3.1) в этом случае имеем

$$(5.1) \quad \begin{aligned} n_1 &= M^2, \quad u_1 = M^{-1}, \\ p_1 &= p_0 + 2(M^2 - 1) - B_1^2, \\ [\gamma p_0/(\gamma - 1) + M^2] M^2 &= \gamma p_1/(\gamma - 1) + 1 + B_1^2. \end{aligned}$$

Считая, как и прежде, $p_0 \ll 1$, $\gamma = 5/3$, получим простую связь между магнитным полем за волной и числом Маха (либо плотностью)

$$(5.2) \quad B_1^2 = (2/3)(5M^2 - M^4 - 4) = (2/3)(5n_1 - n_1^2 - 4).$$

При отсутствии теплопроводности, как и для косых волн, переход от непрерывных решений к разрывным происходит при критических параметрах, которые определяются из уравнения

$$q_1 = (5/4)p_1 - (3/2) = 0,$$

откуда, используя (5.1), (5.2), получаем уравнение для критического числа Маха M_*

$$5M_*^4 - 10M_*^2 - 4 = 0.$$

Таким образом, для ударных волн включения при $\chi = 0$ критические параметры равны

$$M_* = (1 + 3/\sqrt{5})^{1/2} \approx 1,53, \quad n_{1*} = 1 + 3/\sqrt{5} \approx 2,34, \quad B_{1*} = [1,2(\sqrt{5} - 1)]^{1/2} \approx 1,22, \quad p_{1*} = 1,2.$$

Если принять во внимание теплопроводность ($\chi \neq 0$), то число перемен знака в последовательности Рауса зависит от знака коэффициента $f_1 = -\chi_1(p_1 - 2Mu_1)/M$ в характеристическом уравнении. Критическое число Маха определяется из уравнения $M_*^4 - 2M_*^2 - 2 = 0$, и критические параметры ударных волн включения с учетом теплопроводности равны

$$M_* = (1 + \sqrt{3})^{1/2} \approx 1,65, \quad n_{1*} = 1 + \sqrt{3} \approx 2,73, \quad B_{1*} = [2(\sqrt{3} - 1)]^{1/2} \approx 1,21, \quad p_{1*} = 2.$$

6. Численное решение уравнений структуры. Основной целью расчетов является получение структуры ударных волн при параметрах, близких к критическим. По мере приближения к критическим параметрам профили магнитного поля и температуры имеют достаточно большую ширину, которая определяется значениями κ и χ , а ширина профилей плотности и продольной скорости резко уменьшается. Это обстоятельство приводит к некоторым трудностям. Поэтому предлагается метод численного решения уравнений структуры, который может быть с успехом использован во всей области изменения параметров вплоть до критических.

Полагая в уравнениях (2.2) $\beta = 0$, получим следующую систему уравнений, которая далее решается численно:

$$(6.1) \quad dH/dx = E(H, B, u), \quad dB/dx = F(H, B, u), \quad du/dx = G(H, B, u),$$

где

$$\begin{aligned}
 E &= (1/c)[\kappa(MH - nv \sin \theta) - (MB - nv \sin \theta - Mn \cos \theta) \sin \theta]; \\
 F &= (1/c)[(MH - nv \sin \theta) \sin \theta + \kappa(MB - nv \sin \theta - Mn \cos \theta)]; \\
 G &= [M/\chi(p - 2Mu)]\{(uE/M)[(2\chi - \kappa)H + B \sin \theta] + (uF/M)[(2\chi - \\
 &\quad - \kappa)B - H \sin \theta] + (1/2)M(u^2 + v^2 + w^2) + u[(5/4)p + H^2 + B^2] - \\
 &\quad - (vH + wB) \sin \theta - C_2\}.
 \end{aligned}$$

Пренебрежение дисперсионными членами, связанными с инерцией электронов и пропорциональными β , возможно в случае $0 \leq \theta \leq \sqrt{\beta}$ только при достаточно больших значениях κ (большая диссипация), а в случае $\theta > \sqrt{\beta}$ возможно всегда.

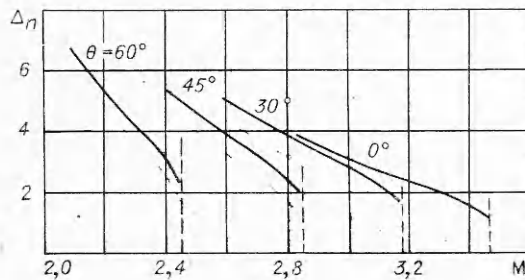
В уравнениях (6.1) перейдем от пространственного аргумента x к длине дуги s функции $u(x)$ по формуле $ds = \sqrt{1 + (du/dx)^2} dx$. Тогда вместо системы (6.1) получаем следующую систему:

$$\begin{aligned}
 (6.2) \quad dH/ds &= E(1 + G^2)^{-1/2}, \quad dB/ds = F(1 + G^2)^{-1/2}, \quad du/ds = G(1 + G^2)^{-1/2}, \\
 dx/ds &= (1 + G^2)^{-1/2}.
 \end{aligned}$$

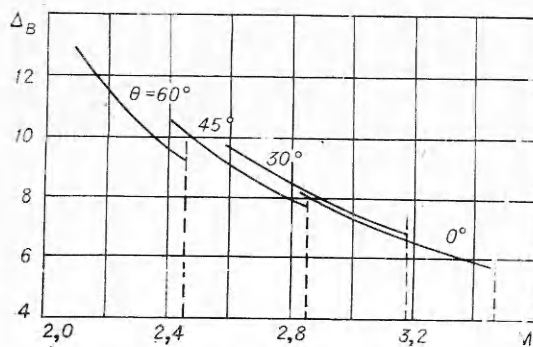
Переход к аргументу s позволяет использовать любой из методов решения обыкновенных дифференциальных уравнений с постоянным шагом интегрирования.

Как следует из анализа особых точек (п. 4), численное решение уравнений структуры нужно начинать из окрестности особой точки 1, выбирая в качестве начальных условий решение линейной системы (4.1), соответствующее единственному отрицательному корню характеристического уравнения (4.3) в точке 1.

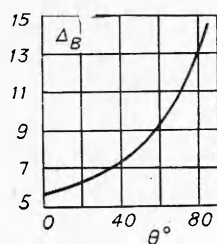
Результаты решения системы уравнений (6.2) представлены на фиг. 1—5. На фиг. 1, 2 дана зависимость ширины профиля плотности $\Delta_n = (n_1 - 1)/|dn/dx|_{\max}$ и магнитного поля $\Delta_B = (B_1 - \cos \theta)/|dB/dx|_{\max}$ от числа Маха при различных углах θ . Характер изменения ширины профиля плотности качественно один и тот же — ее резкое уменьшение происходит только в окрестности критического числа Маха $M_*(\theta)$. Ширина профиля магнитного поля Δ_B при $M \rightarrow M_*(\theta)$ стремится к некоторому пределу Δ_B^* , который возрастает с увеличением κ и θ . Зависимость $\Delta_B^*(\theta)$ при фиксированном значении κ представлена на фиг. 3. На фиг. 4, 5 приведены профи-



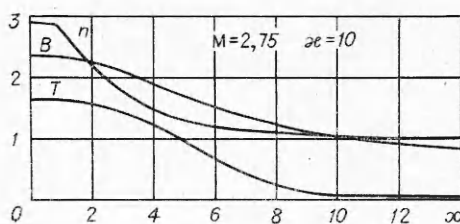
Фиг. 1



Фиг. 2



Фиг. 3

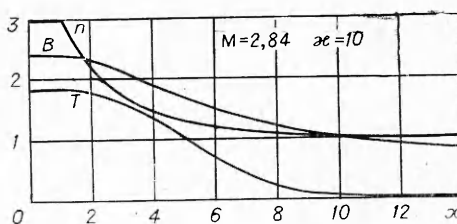


Фиг. 4

ли плотности, магнитного поля и температуры в ударной волне, распространяющейся под углом $\theta=45^\circ$, при разных состояниях плазмы за волной. Из этих графиков видно, что при $M \rightarrow M_*$ крутизна профиля плотности увеличивается.

Как показывает анализ уравнений структуры при $M < M_*$, в зависимости от величины частоты столкновений κ ударная волна может иметь монотонную (при $\kappa \geq \kappa_*$) либо осцилляторную (при $\kappa < \kappa_*$) структуру, где

$$\kappa_* = \left[\frac{4(M^2 - 1)(M^2 - \sin^2 \theta)}{(2M^2 - 1 - \sin^2 \theta)^2 - 4(M^2 - \sin^2 \theta)} \right]^{1/2}$$



Фиг. 5

Характер особой точки 0 изменяется, когда дискриминант уравнения (4.4) меняет знак; из этого условия и получена формула для κ_* . Отсюда следует, что частота столкновений κ_* возрастает с увеличением числа Маха M и угла θ .

Поступила 24 II 1975

ЛИТЕРАТУРА

1. Hoffman F., Teller E. Magnetohydrodynamic shocks.—«Phys. Rev.», 1950, vol. 80, N 4.
2. Bazer J., Ericson W. Hydromagnetic shocks.—«Astrophys. J.», 1959, vol. 129, N 3.
3. Shercliff J. A. One-dimensional magnetohydrodynamics in oblique fields.—«J. Fluid Mech.», 1960, vol. 9, pt. 4.
4. Marshall W. The structure of magnetohydrodynamic shock waves.—«Proc. Roy. Soc.», 1955, vol. 233 A.
5. Куликовский А. Г., Любимов Г. А. Магнитная гидродинамика. М., Физматгиз, 1962.
6. Половин Р. В. Ударные волны в магнитной гидродинамике.—«Усп. физ. наук», 1960, т. 72, № 1.
7. Anderson E. Magnetohydrodynamic shock waves. M. I. T. Press, Cambridge, Massachusetts, 1963.
8. Сагдеев Р. З. Коллективные процессы и ударные волны в разреженной плазме.— В кн.: Вопросы теории плазмы. Вып. 4. М., Атомиздат, 1964.
9. Morton K. W. Finite amplitude compression waves in a collision-free plasma.—«Phys. Fluids», 1964, vol. 7, N 11.
10. Woods L. C. Critical Alfvén — Mach numbers for transverse field MHD shocks.—«Plasma Physics», 1969, vol. 11, N 1.
11. Березин Ю. А. Изучение структуры ударных волн в плазме.— В кн.: Численные методы механики сплошной среды. Т. 1. Новосибирск, изд. Вычисл. центра СО АН СССР, 1970, № 6.

12. Березин Ю. А., Дудникова Г. И. Влияние теплопроводности на структуру и критические параметры ударных волн в плазме.— ПМТФ, 1972, № 2.
13. Березин Ю. А. К теории волн конечной амплитуды в разреженной плазме. Дис. на соиск. учен. степени канд. физ.-мат. наук. Новосибирск, 1966.
14. Дудникова Г. И. Нестационарные ударные волны в разреженной плазме.— ПМТФ, 1973, № 3.
15. Robson A. E. Experiments on oblique shock waves.—Proc. Study Group ESRIN, Frascati, 1969.
16. Гантмахер Ф. Р. Теория матриц. М., «Наука», 1967.

УДК 533.6.011

ЧИСЛЕННЫЙ РАСЧЕТ ЗАДАЧИ ОБ ОСТЫВАНИИ СФЕРИЧЕСКОГО ОБЪЕМА НЕРАВНОВЕСНО-ИОНИЗОВАННОГО ИЗЛУЧАЮЩЕГО ГЕЛИЯ

С. П. Попов

(Москва)

Излагается методика и приводятся результаты численных расчетов системы уравнений нестационарной газовой динамики, переноса излучения в сплошном спектре и кинетики столкновительной ионизации и ионизации излучением, описывающих разлет и охлаждение сферического объема He. Проведено сопоставление с расчетами, выполненными в предположении термодинамического равновесия.

Условные обозначения

u — скорость газа; ρ — плотность; p — давление; E — полная энергия; e — внутренняя энергия; q — потери энергии веществом при излучении; T — температура электронов и атомов; $\alpha_0, \alpha_1, \alpha_2, \alpha_e$ — соответственно неравновесные концентрации атомов, одно- и двукратно ионизованных атомов, электронов; $\alpha_{0p}, \alpha_{1p}, \alpha_{2p}, \alpha_{ep}$ — равновесные значения этих концентраций; K_1, K_2 — константы ионизационного равновесия; I_1, I_2 — потенциалы ионизации He; g_0, g_1, g_2 — соответствующие статистические веса; $I(\nu, \Omega)$ — спектральная интенсивность излучения в единичном частотном интервале на единицу телесного угла; $I_p(\nu)$ — ее равновесное значение; ν — частота излучения; $d\nu$ — частотный интервал; $d\Omega$ — элемент телесного угла; N_0 — число Лошмидта; M — масса атома; v — средняя тепловая скорость электронов; σ_0, σ_1 — сечения столкновительной ионизации атомов и однократно заряженных ионов; $\sigma_{0\nu}$ — сечение фотоионизации атомов ($\kappa_{0\nu}$ — соответствующий спектральный линейный коэффициент поглощения); $\sigma_{1\nu}$ — сечение фотоионизации однократно заряженных ионов ($\kappa_{1\nu}$); $\sigma_{0e}, \sigma_{1e}, \sigma_{2e}$ — сечения тормозного поглощения электронами соответственно в поле атома, одно- и двукратно заряженных ионов ($\kappa_{0e}, \kappa_{1e}, \kappa_{2e}$).

При изучении нестационарных газодинамических явлений в реальных газах необходимо учитывать соотношение между скоростями изменения ν , макроскопических параметров E, ρ, u и скоростями ν_p процессов, ведущих к установлению термодинамического равновесия (ионизации, возбуждения и т. д.). Во многих задачах в областях непрерывных течений